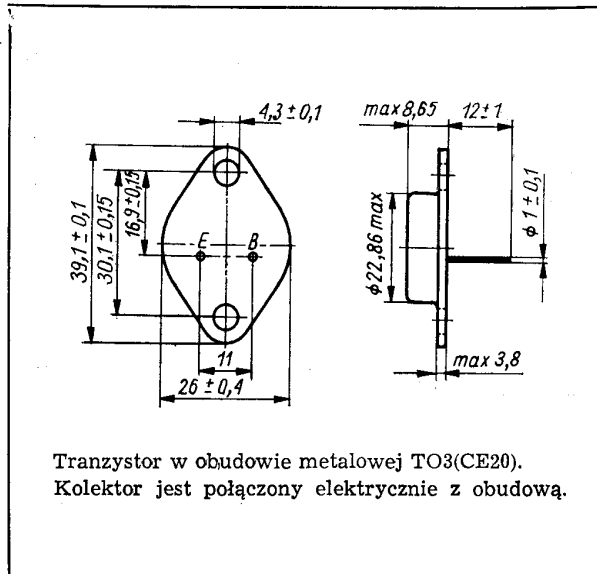


Tranzystory germanowe stopowe dużej mocy małej częstotliwości. Są przeznaczone do stosowania we wzmacniaczach akustycznych i przetwornicach. Do układów przeciwobnych tranzystory są dobierane parami.



DANE TECHNICZNE

Wartości dopuszczalne parametrów eksploatacyjnych

Typ		ADP670	ADP671	ADP672	
Napięcie kolektor-baza	$-U_{CB0}$	20	30	60	V
Napięcie kolektor-emiter	$-U_{CES}$	20	30	60	V
Napięcie emiter-baza	$-U_{EB0}$	10	10	10	V
Prąd kolektora	$-I_C$	1,5	1,5	1,5	A
Prąd szczytowy kolektora	$-I_{CM}$	3	3	3	A
Prąd szczytowy bazy	$-I_{BM}$	0,5	0,5	0,5	A
Prąd emitera	$-I_E$	1,6	1,6	1,6	A
Prąd szczytowy emitera	$-I_{EM}$	3,3	3,3	3,3	A
Temperatura złącza	t_j	348 K (75°C)			
Zakres temperatury składowania	t_{etg}	248...328 K (-25...+55°C)			
Moc strat kolektora przy $t_{case} = 298$ K (25°C)	P_C	10	10	10	W

SWW 1156-231

Parametry termiczne

Rezystancja termiczna		33	33	33	K/W
złącze-otoczenie	$R_{th(j-a)}$				
złącze-obudowa	$R_{th(j-c)}$	5	5	5	K/W

TRANZYSTOR ADP670

Parametry statyczne

przy $t_{amb} = 298$ K (+25°C)		min.	typ.	maks.	
Współczynnik wzmocnienia prądowego					
przy $-I_C = 0,3$ A, $-U_{CE} = 6$ V	h_{21E}	30	—	200	—
przy $-I_C = 3$ A, $-U_{CE} = 1$ V	h_{21E}	10	—	—	—
Prąd zerowy kolektora					
przy $-U_{CB} = 12$ V	$-I_{CB0}$	—	20	100	μA
przy $-U_{CB} = 12$ V, $t_{amb} = 343$ K (70°C)	$-I_{CB0}$	—	0,7	2,5	mA
Prąd zerowy emitera					
przy $-U_{EB} = 6$ V	$-I_{EB0}$	—	15	50	μA
Napięcie przebicia kolektor-baza					
przy $-I_C = 500$ μA, $I_E = 0$	$-U_{(BR)CB0}$	30	—	—	V
Napięcie przebicia kolektor-emiter					
przy $-I_C = 500$ μA, $R_{BE} = 0$	$-U_{(BR)CES}$	30	—	—	V
Napięcie przebicia emiter-baza					
przy $-I_E = 100$ μA, $-I_C = 0$	$-U_{(BR)EB0}$	10	—	—	V

Parametry dynamiczne

przy $t_{amb} = 298$ K (25°C)		min.	typ.	maks.	
Częstotliwość graniczna					
przy $-U_{CB} = 6$ V, $-I_C = 0,3$ A	f_T	100	180	—	kHz
Stosunek współczynników wzmocnienia prądowego dobranych par*					
przy $-U_{CE} = 6$ V, $-I_C = 0,3$ A	$\frac{h_{21E(1)}}{h_{21E(2)}}$	—	—	1,3	—
przy $-U_{CE} = 1$ V, $-I_C = 3$ A	$\frac{h_{21E(1)}}{h_{21E(2)}}$	—	—	1,3	—

* Tranzystory dobiera się w pary na życzenie odbiorcy określone w zamówieniu.

TRANZYSTOR ADP671

Parametry statyczne

przy $t_{amb} = 298\text{ K}$ (25°C)		min.	typ.	maks.	
Współczynnik wzmocnienia prądowego					
przy $-I_C = 0,3\text{ A}$, $-U_{CE} = 6\text{ V}$	h_{21E}	30	—	200	—
przy $-I_C = 3\text{ A}$, $-U_{CE} = 1\text{ V}$	h_{21E}	10	—	—	—
Prąd zerowy kolektora					
przy $-U_{CB} = 12\text{ V}$	$-I_{CB0}$	—	20	100	μA
przy $-U_{CB} = 12\text{ V}$, $t_{amb} = 343\text{ K}$ (70°C)	$-I_{CB0}$	—	0,7	2,5	mA
Prąd zerowy emitera					
przy $-U_{EB} = 6\text{ V}$	$-I_{EB0}$	—	15	50	μA
Napięcie przebicia kolektor-baza					
przy $-I_C = 500\ \mu\text{A}$, $I_E = 0$	$-U_{(BR)CB0}$	20	—	—	V
Napięcie przebicia kolektor-emiter					
przy $-I_C = 500\ \mu\text{A}$, $R_{BE} = 0$	$-U_{(BR)CES}$	20	—	—	V
Napięcie przebicia emiter-baza					
przy $-I_E = 100\ \mu\text{A}$, $-I_C = 0$	$-U_{(BR)EB0}$	10	—	—	V

Parametry dynamiczne

przy $t_{amb} = 298\text{ K}$ (25°C)		min.	typ.	maks.	
Częstotliwość graniczna					
przy $-U_{CB} = 6\text{ V}$, $-I_C = 0,3\text{ A}$	f_T	100	180	—	kHz
Stosunek współczynników wzmocnienia prądowego*					
przy $-U_{CE} = 6\text{ V}$, $-I_C = 0,3\text{ A}$	$\frac{h_{21E(1)}}{h_{21E(2)}}$	—	—	1,3	—
przy $-U_{CE} = 1\text{ V}$, $-I_C = 3\text{ A}$	$\frac{h_{21E(1)}}{h_{21E(2)}}$	—	—	1,3	—

TRANZYSTOR ADP672

Parametry statyczne

przy $t_{amb} = 298\text{ K}$ (25°C)		min.	typ.	maks.	
Współczynnik wzmocnienia prądowego					
przy $-I_C = 0,3\text{ A}$, $-U_{CE} = 6\text{ V}$	h_{21E}	30	—	200	—
przy $-I_C = 3\text{ A}$, $-U_{CE} = 1\text{ V}$	h_{21E}	10	—	—	—
Prąd zerowy kolektora					
przy $-U_{CB} = 12\text{ V}$	$-I_{CB0}$	—	20	100	μA
przy $-U_{CB} = 12\text{ V}$, $t_{amb} = 343\text{ K}$ (70°C)	$-I_{CB0}$	—	0,7	2,5	mA

Prąd zerowy emitera

przy $-U_{EB} = 6\text{ V}$ $-I_{EB0}$ — 18 50 μA

Napięcie przebicia kolektor-baza

przy $-I_C = 500\ \mu\text{A}$,
 $I_E = 0$ $-U_{(BR)CB0}$ 60 — — V

Napięcie przebicia kolektor-emiter

przy $-I_C = 500\ \mu\text{A}$,
 $R_{BE} = 0$ $-U_{(BR)CES}$ 60 — — V

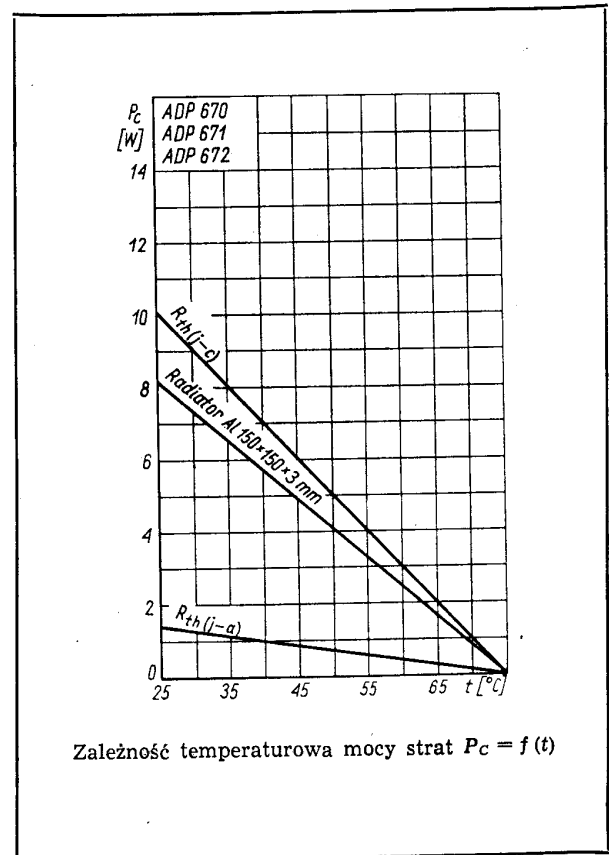
Napięcie przebicia emiter-baza

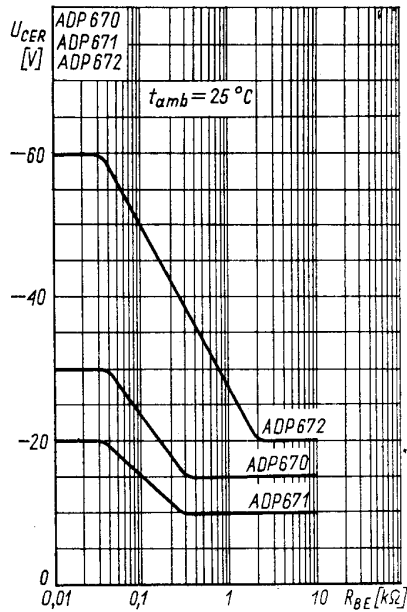
przy $-I_E = 100\ \mu\text{A}$,
 $-I_C = 0$ $-U_{(BR)EB0}$ 10 — — V

Parametry dynamiczne

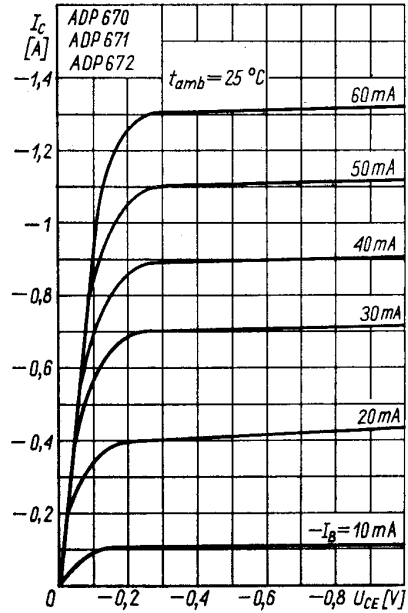
przy $t_{amb} = 298\text{ K}$ (25°C)		min.	typ.	maks.	
Częstotliwość graniczna					
przy $-U_{CB} = 6\text{ V}$, $-I_C = 0,3\text{ A}$	f_T	100	180	—	kHz
Stosunek współczynników wzmocnienia prądowego dobranych par*					
przy $-U_{CE} = 6\text{ V}$, $-I_C = 0,3\text{ A}$	$\frac{h_{21E(1)}}{h_{21E(2)}}$	—	—	1,3	—
przy $-U_{CE} = 1\text{ V}$, $-I_C = 3\text{ A}$	$\frac{h_{21E(1)}}{h_{21E(2)}}$	—	—	1,3	—

* Tranzystory dobiera się w pary na życzenie odbiorcy określone w zamówieniu.

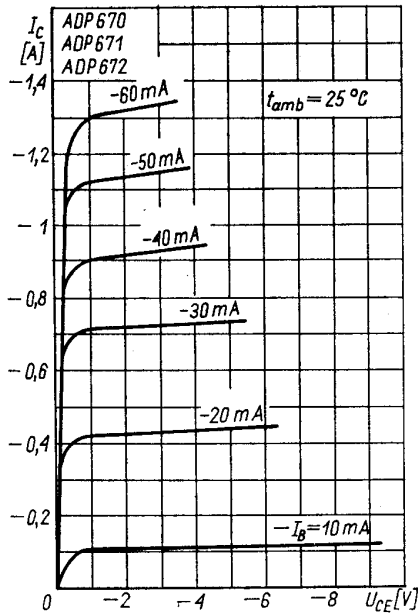




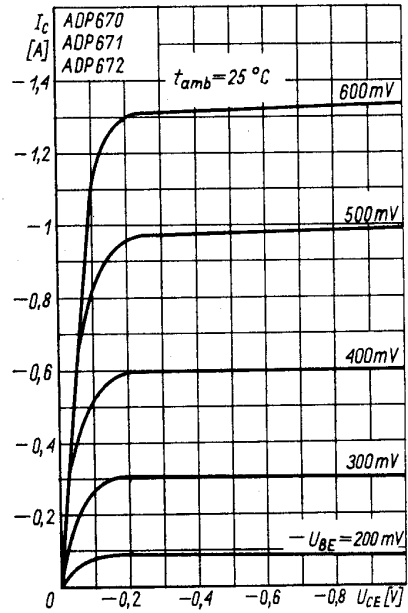
Zależność napięcia kolektor-emiter od rezystancji emiter-baza $U_{CER} = f(R_{BE})$



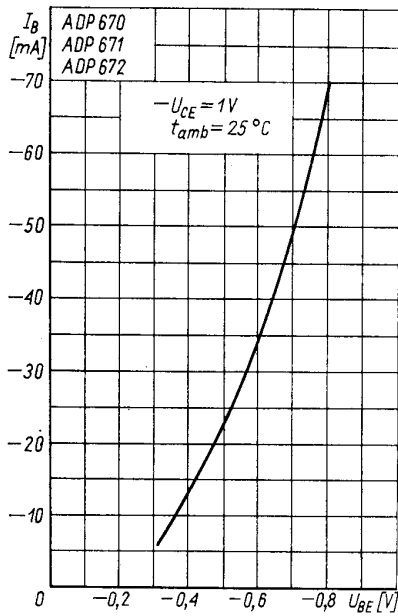
Charakterystyka wyjściowa $I_C = f(U_{CE})$; I_B — parametr



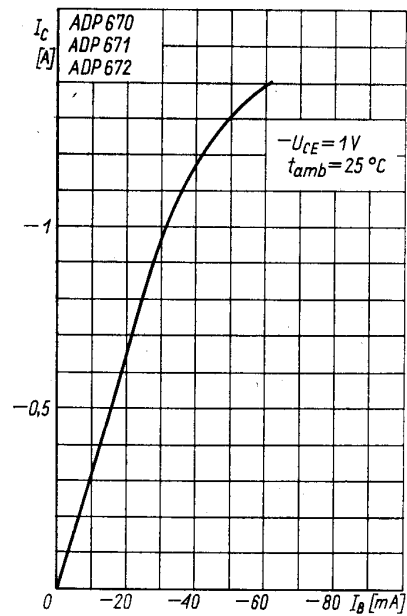
Charakterystyka wyjściowa $I_C = f(U_{CE})$; I_B — parametr



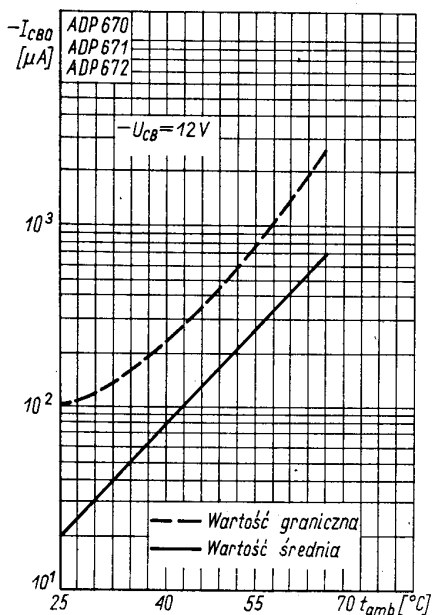
Charakterystyka wyjściowa $I_C = f(U_{CE})$; U_{BE} — parametr



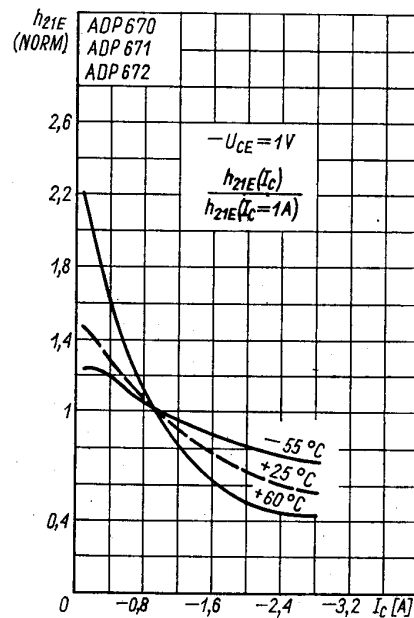
Charakterystyka wejściowa $I_B = f(U_{BE})$; U_{CE} — parametr



Charakterystyka przejściowa $I_C = f(I_B)$



Zależność temperaturowa prądu zerowego $I_{CBO} = f(t_{amb})$



Zależność statycznego współczynnika wzmocnienia prądowego znormalizowanego od prądu kolektora

PRODUCENT

UNITRA
CEMI

NAUKOWO-PRODUKCYJNE CENTRUM
PÓLPRZEWODNIKÓW „TEWA”
ul. Komarowa 5
02-675 Warszawa
Telefon: 431431
Teleks: 813219

DYSTRYBUTOR

UNITRA
UNIZET

BIURO ZBYTU SPRZĘTU
TELERRADIOTECHNICZNEGO
ul. Nowogrodzka 50
00-695 Warszawa
Telefony: 289411, 286471
Teleks: 813435